

На основе применения преобразования простого растяжения-сжатия указана методика распространения решений задач, связанных с течениями несжимаемой вязкой жидкости в присутствии сферы, на варианты, когда сфера заменяется трехосным эллипсоидом. Решена задача о медленном обтекании эллипсоида, указана простая расчетная формула для его сопротивления. Показано удовлетворительное совпадение с литературными данными, соответствующими предельным случаям.

### Введение

Некоторые задачи, связанные с интегрированием уравнений Навье-Стокса

$$\nabla \frac{\vec{v}\vec{v}}{2} - \vec{v} \times \text{rot } \vec{v} = -Eu \nabla p - \frac{1}{\text{Re}} \text{rot rot } \vec{v}, \quad \text{div } \vec{v} = 0, \quad (1)$$

или их упрощений, в случаях присутствия твердого или жидкого объекта в виде сферы единичного радиуса успешно решены путем использования функции тока

$$\psi = \frac{1}{2} \sigma^2 f(\sigma) \sin^2 \theta, \quad (2)$$

$$\vec{\sigma} = \xi \vec{i} + \eta \vec{j} + \zeta \vec{k} = \sigma [\vec{i} \cos \theta + \sin \theta (\vec{j} \cos \varphi + \vec{k} \sin \varphi)].$$

При этом от функции  $f(\sigma)$  требуется, чтобы она удовлетворяла уравнению

$$\text{rot rot rot } \vec{v} = \text{rot rot rot rot } (\psi \nabla \varphi) = 0, \quad (3)$$

что в общем случае влечет за собой представление

$$f(\sigma) = c_1 + c_2 \sigma^{-1} + c_3 \sigma^{-3} + c_4 \sigma^2. \quad (4)$$

При различном наборе констант интегрирования в (4) функция тока (2) будет обеспечивать кинематические картины течения как во внутренних (вихри Адамара-Рябчинского-Хилла,  $c_2=c_3=0$ ), так и во внешних ( $c_4=0$ ) областях. Для внутренних течений ускорение является консервативным вектором, и давление находится из полных уравнений

движения Навье-Стокса; в идеальном внешнем потоке ( $c_2=0$ ) давление определено интегралом Бернулли, а во внешнем вязком оно находится из уравнений Стокса.

Ниже обсуждается проблема распространения отмеченных и других решений на случай замены сферы трехосным эллипсоидом. Сопротивление эллипсоида вращения при его медленном движении было найдено в [1] по теории ньютоновского потенциала притяжения. В [2] предпринята попытка определить сопротивление набегающему потоку вязкой жидкости трехосного эллипсоида при параллельности потока и одной из полуосей путем использования преобразования простого растяжения-сжатия, при котором сфера переводится в эллипсоид и наоборот.

В общем случае трехосный эллипсоид имеет бесконечно много сопротивлений, что зависит от его ориентации к набегающему потоку. Поэтому исследование выполняется в предположении, что орты  $\vec{i}, \vec{j}, \vec{k}$  декартовой системы координат жестко связаны с главными центральными осями эллипсоида

$$\left(\frac{x}{a}\right)^2 + \left(\frac{y}{b}\right)^2 + \left(\frac{z}{c}\right)^2 = 1,$$

который в тексте будет фигурировать в виде уравнения (при  $\sigma=1$ )

$$\left(\frac{x}{\lambda_1}\right)^2 + \left(\frac{y}{\lambda_2}\right)^2 + \left(\frac{z}{\lambda_3}\right)^2 = \sigma^2, \lambda_1 = \frac{a}{L}, \lambda_2 = \frac{b}{L}, \lambda_3 = \frac{c}{L},$$

где  $L$  – линейный масштаб, используемый при обезразмеривании системы Навье-Стокса, а в качестве  $x, y, z$  участвуют теперь безразмерные координаты. Используется линейный переход от размерного радиуса-вектора  $\vec{r}$  к безразмерному

$$\vec{\sigma} = \xi \vec{i} + \eta \vec{j} + \zeta \vec{k} = \frac{x}{\lambda_1} \vec{i} + \frac{y}{\lambda_2} \vec{j} + \frac{z}{\lambda_3} \vec{k}$$

по схеме преобразования простого растяжения-сжатия

$$\vec{r} = x\vec{i} + y\vec{j} + z\vec{k} = a\frac{x}{a}\vec{i} + b\frac{y}{b}\vec{j} + c\frac{z}{c}\vec{k} = L(\lambda_1\xi\vec{i} + \lambda_2\eta\vec{j} + \lambda_3\zeta\vec{k}),$$

$$\frac{\vec{r}}{L} = \Lambda \vec{\sigma}, \quad \Lambda = \begin{pmatrix} \lambda_1 & 0 & 0 \\ 0 & \lambda_2 & 0 \\ 0 & 0 & \lambda_3 \end{pmatrix}.$$

Особое внимание уделено нахождению решения системы:

$$\nabla p + \text{rot rot } \vec{v} = 0, \text{div } \vec{v} = 0, \text{rot rot rot } \vec{v} = 0 \quad (5)$$

в переменных вектора  $\vec{\sigma}$  в области  $1 \leq \sigma < \infty$  при условии прилипания  $\vec{v}(1) = 0$ . Необходимо отметить, что возможное решение в переменных  $\xi, \eta, \zeta$  не является универсальным, что можно пояснить следующим примером. Линейное уравнение движения свидетельствует о том, что давление  $p$  является гармонической функцией. Но, например, функция

$$p = \xi \sigma^{-3} = \frac{x}{\lambda_1} \left( \frac{x^2}{\lambda_1^2} + \frac{y^2}{\lambda_2^2} + \frac{z^2}{\lambda_3^2} \right)^{-\frac{3}{2}}$$

в пространстве  $\xi, \eta, \zeta$  является гармонической и теряет это свойство в пространстве  $x, y, z$ , если  $\lambda_1 \neq \lambda_2 \neq \lambda_3$  ( $\nabla^2 p(\xi, \eta, \zeta) = 0$ ,  $\nabla^2 p(x, y, z) \neq 0$ ). Из этого следует, что система (5) при  $\vec{v}(\xi, \eta, \zeta)$ ,  $p(\xi, \eta, \zeta)$  не отражает законы гидромеханики в обычном понимании, и ее возможные решения при данной зависимости дают лишь приблизительную информацию о реальном явлении.

#### Обтекание эллипсоида. Скоростное поле и поле давления

Если эллипсоид находится под углом атаки, то скорость набегающего потока  $\vec{V}$  ( $|\vec{V}| = 1$ ) удобно представить в виде разложения:

$$\vec{V} = V_1 \vec{i} + V_2 \vec{j} + V_3 \vec{k}, \quad V_1^2 + V_2^2 + V_3^2 = 1.$$

С тем, чтобы удовлетворить уравнению несжимаемости, скоростное поле ищется в виде:

$$\vec{v} = \frac{d\vec{\sigma}}{dt} = \frac{1}{2} \text{rot}(f \vec{V} \times \vec{\sigma}), \quad f = f(\sigma), \quad \sigma^2 = \xi^2 + \eta^2 + \zeta^2,$$

где  $f(\sigma)$  выбирается из требования выполнения последнего уравнения системы (5).

Расшифровка операторов пространственного дифференцирования показывает, что

$$\vec{v} = \left( f + \frac{1}{2} \sigma f' \right) \vec{V} - \frac{1}{2} (\vec{\sigma} \vec{V}) \sigma^{-1} f' \vec{\sigma},$$

$$\text{rot } \vec{v} = -\frac{1}{2} (f'' + 4\sigma^{-1} f') \vec{V} \times \vec{\sigma},$$

$$\text{rot rot } \vec{v} = -\frac{1}{2} \left[ (\sigma(f'' + 4\sigma^{-1} f')' + 2(f'' + 4\sigma^{-1} f')) \vec{V} - \right. \\ \left. - (\vec{\sigma} \vec{V}) \sigma^{-1} (f'' + 4\sigma^{-1} f')' \vec{\sigma} \right],$$

$$\text{rot rot rot } \vec{v} = \frac{1}{2} [(f'' + 4\sigma^{-1} f')'' + 4\sigma^{-1} (f'' + 4\sigma^{-1} f')'] \vec{V} \times \vec{\sigma},$$

$$\text{rot}(\vec{v} \times \text{rot } \vec{v}) = -\frac{1}{2} (\vec{\sigma} \vec{V}) \sigma^{-1} f' (f'' + 4\sigma^{-1} f')' \vec{V} \times \vec{\sigma}.$$

Теперь видно, что третье условие (5), соответствующее требованию (3), будет выполнено, если функция  $f(\sigma)$  удовлетворяет обыкновенному дифференциальному уравнению:

$$(f'' + 4\sigma^{-1} f')'' + 4\sigma^{-1} (f'' + 4\sigma^{-1} f')' = 0,$$

что в общем случае приводит ее к представлению по (4). Заодно легко просматриваются варианты для исполнения полного уравнения Гельмгольца, получаемого после применения к первому соотношению из (1) операции ротирования.

Если при внешнем обтекании потребовать, чтобы при  $\sigma = 1$  поверхность объекта (в пространстве  $x, y, z$  им служит эллипсоид, а в пространстве  $\xi, \eta, \zeta$  – сфера) была поверхностью тока и на ней осуществлялось прилипание, а вдали от него было

$$\vec{v}(\infty) = \vec{V} \left( \vec{v} = \frac{d\vec{\sigma}}{dt} \neq \frac{d\vec{r}}{dt} \right)$$

то (4) примет вид:

$$f' = 1 - \frac{3}{2} \sigma^{-1} + \frac{1}{2} \sigma^{-3},$$

а это приводит к тому, что скоростное поле представится равенствами:

$$\begin{aligned} \xi &= V_1 \left( 1 - \frac{3}{4} \sigma^{-1} - \frac{1}{4} \sigma^{-3} - \frac{3}{4} \xi^2 \sigma^{-3} (1 - \sigma^{-2}) \right) - \\ &\quad - \frac{3}{4} V_2 \xi \eta \sigma^{-3} (1 - \sigma^{-2}) - \frac{3}{4} V_3 \xi \eta \sigma^{-3} (1 - \sigma^{-2}), \\ \eta &= -\frac{3}{4} V_1 \xi \eta \sigma^{-3} (1 - \sigma^{-2}) + \\ &\quad + V_2 \left( 1 - \frac{3}{4} \sigma^{-1} - \frac{1}{4} \sigma^{-3} - \frac{3}{4} \eta^2 \sigma^{-3} (1 - \sigma^{-2}) \right) - \\ &\quad - \frac{3}{4} V_3 \eta \zeta \sigma^{-3} (1 - \sigma^{-2}), \\ \zeta &= -\frac{3}{4} V_1 \xi \zeta \sigma^{-3} (1 - \sigma^{-2}) - \frac{3}{4} V_2 \eta \zeta \sigma^{-3} (1 - \sigma^{-2}) + \\ &\quad + V_3 \left( 1 - \frac{3}{4} \sigma^{-1} - \frac{1}{4} \sigma^{-3} - \frac{3}{4} \zeta^2 \sigma^{-3} (1 - \sigma^{-2}) \right). \end{aligned} \quad (6)$$

А поскольку теперь

$$\text{rot rot } \vec{v} = \frac{3}{2} (\sigma^{-3} \vec{V} - 3(\vec{\sigma} \vec{V}) \sigma^{-5} \vec{\sigma}) = \frac{3}{2} \nabla((\vec{\sigma} \vec{V}) \sigma^{-3}),$$

то из закона движения по Стоксу поле давления будет определено формулой

$$p = -\frac{3}{2} (\vec{\sigma} \vec{V}) \sigma^{-3}. \quad (7)$$

По форме система равенств (6) и (7) выглядит совершенно одинаково как для эллипсоида, так и для сферы. Но в первом случае надо читать:

$$\xi = \frac{x}{\lambda_1}, \eta = \frac{y}{\lambda_2}, \zeta = \frac{z}{\lambda_3} \quad \left( \xi = \frac{x}{a}, \eta = \frac{y}{b}, \zeta = \frac{z}{c} \right),$$

а во втором:

$$\xi = \frac{x}{R}, \eta = \frac{y}{R}, \zeta = \frac{z}{R},$$

где  $a, b, c, R$  – соответственно полуоси эллипсоида и радиус сферы. Вполне понятно, что при наличии только одной составляющей скорости набегающего потока, направленной вдоль оси эллипсоида, формулы упрощаются, а для сферы они воспроизводят известное [1] решение Стокса.

Еще раз следует отметить, что найденные поля (6) и (7) для обтекания эллипсоида не являются вполне достоверными, так как безразмерная система (5) при учете масштабов  $a, b, c$  будет выглядеть несколько по иному. Вопрос о степени достоверности найденного решения можно выяснить после вычисления сопротивления взятых объектов.

#### Сопротивление сферы и эллипсоида

Сопротивление состоит, как известно, из двух слагаемых – сопротивления от давления  $\vec{F}(p) = -\int p d\vec{S}$  и сопротивления трения  $\vec{F}(\gamma) = 2\int \gamma d\vec{S}$ . Здесь через  $d\vec{S}$  обозначен направленный по нормали поверхностный элемент объекта, а через  $\gamma$  – тензор скорости деформации, компоненты которого в силу отмеченных особенностей скоростного поля выглядят совершенно одинаково для сферы и эллипсоида. На самой поверхности (при  $\sigma=1$ ) они запишутся в виде формул:

$$\gamma_{\xi\xi} = \frac{3}{2}\xi(V_1(1-\xi^2) - V_2\xi\eta - V_3\xi\zeta),$$

$$\gamma_{\xi\eta} = \frac{3}{4}(V_1\eta(1-2\xi^2) + V_2\xi(1-2\eta^2) - 2V_3\xi\eta\zeta),$$

$$\gamma_{\xi\zeta} = \frac{3}{4}(V_1\zeta(1-2\xi^2) - 2V_2\xi\eta\zeta + V_3\xi(1-2\zeta^2)),$$

$$\gamma_{\eta\eta} = \frac{3}{2}\eta(-V_1\xi\eta + V_2(1-\eta^2) - V_3\eta\zeta),$$

$$\gamma_{\eta\zeta} = \frac{3}{4}(-2V_1\xi\eta\zeta + V_2\zeta(1-2\eta^2) + V_3\eta(1-2\zeta^2)),$$

$$\gamma_{\zeta\zeta} = \frac{3}{2}\zeta(-V_1\xi\zeta - V_2\eta\zeta + V_3(1-\zeta^2)).$$

При этом давление на поверхности принимает значение:

$$p = -\frac{3}{2}\vec{\sigma}\vec{V} = -\frac{3}{2}(V_1\xi + V_2\eta + V_3\zeta).$$

При производстве процедур по интегрированию необходимо учесть, что

$$\xi = \cos\theta, \eta = \sin\theta\cos\varphi, \zeta = \sin\theta\sin\varphi; 0 \leq \theta \leq \pi, 0 \leq \varphi \leq 2\pi,$$

благодаря чему поверхностные элементы берутся в виде записей для сферы и эллипсоида соответственно

$$d\vec{S} = (\xi\vec{i} + \eta\vec{j} + \zeta\vec{k})\sin\theta d\theta d\varphi,$$

$$d\vec{S} = (\lambda_2\lambda_3\xi\vec{i} + \lambda_1\lambda_3\eta\vec{j} + \lambda_1\lambda_2\zeta\vec{k})\sin\theta d\theta d\varphi.$$

Исполнение процедур по вычислению приводит к результатам для сферы

$$\vec{F}(p) = 2\pi\vec{V}, \vec{F}(\gamma) = 4\pi\vec{V}, \vec{F}(p, \gamma) = \vec{F}(p) + \vec{F}(\gamma) = 6\pi\vec{V}, (|\vec{V}|=1)$$

и для находящегося под углом атаки эллипсоида

$$\vec{F}(p) = 2\pi(\lambda_2\lambda_3 V_1\vec{i} + \lambda_1\lambda_3 V_2\vec{j} + \lambda_1\lambda_2 V_3\vec{k}),$$

$$\vec{F}(\gamma) = \frac{2}{5}\pi[(4\lambda_2\lambda_3 + 3\lambda_1(\lambda_2 + \lambda_3))V_1\vec{i} + \dots] \text{ (по циклу),}$$

$$\vec{F}(p, \gamma) = \frac{6}{5}\pi[(3\lambda_2\lambda_3 + \lambda_1(\lambda_2 + \lambda_3))V_1\vec{i} + \dots] \text{ (по циклу).}$$

Итоговая информация в размерных величинах получается после умножения соответствующих выражений на размерные комплексы  $\mu|\vec{V}_\infty|R, \mu|\vec{V}_\infty|L$ , благодаря чему она фиксируется формулами:

$$\vec{F}(p, \gamma) = 6\pi\mu R\vec{V}_\infty,$$

$$\vec{F}(p, \gamma) = \frac{6}{5}\pi\frac{\mu}{L} \begin{bmatrix} (3bc + a(b+c))V_{1\infty}\vec{i} + \\ + (3ac + b(a+c))V_{2\infty}\vec{j} + \\ + (3ab + c(a+b))V_{3\infty}\vec{k} \end{bmatrix}$$

соответственно для сферы и эллипсоида. Для варианта обтекания без угла атаки, например, при  $\vec{V}_\infty = V_\infty\vec{i}$  итоговые формулы понятным образом упрощаются и принимают вид:

$$X^* = 6\pi\mu R V_\infty, X_* = \frac{6}{5}\pi\frac{\mu V_\infty}{L}(3bc + a(b+c)). \quad (8)$$

Обычно сравнение сведений по сопротивлению производится путем введения эквивалентной сферы, радиус которой  $R=R(a,b,c,L)$  получается в результате совпадения сил  $X$  и  $X^*$  из формул (8), что дает

$$LR_a = \frac{1}{5}[3bc + a(b+c)].$$

Индекс подчеркивает, в направлении какой из главных центральных осей инерции движется эллипсоид. Здесь масштаб обезразмеривания  $L$  остается неопределенным, и способы его выбора нуждаются в дополнительных обоснованиях. Наиболее простым (напрашивающимся) выбором этого линейного размера является равенство  $L=R$ , что влечет за собой

$$R_a^2 = \frac{1}{5}[3bc + a(b+c)], \quad (9)$$

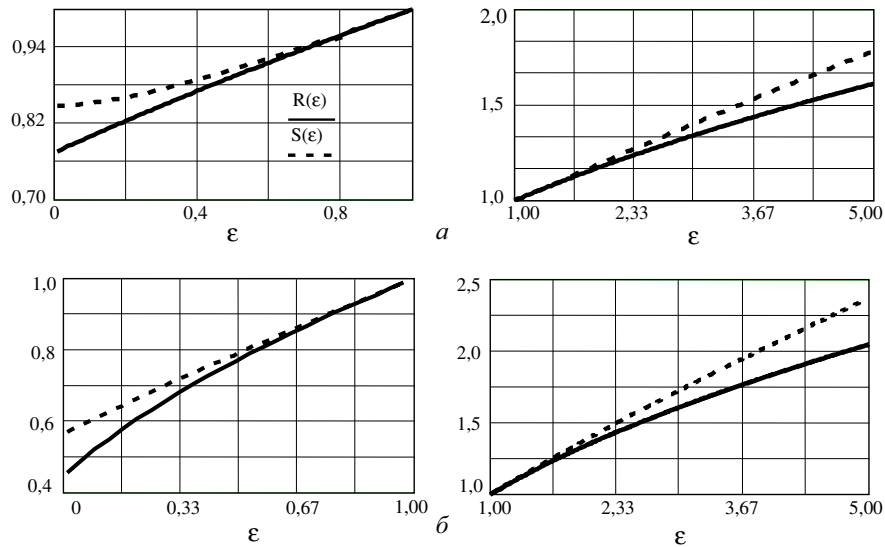
здесь и далее предполагается, что полуось параллельна направлению набегающего потока.

Но следует заметить, что такой выбор размера  $L$  в случаях вырождения эллипсоида в пластины, когда преобразование координат перестает работать, вряд ли можно считать оправданным. Например, по теории потенциала притяжения известно [1], что предельные выражения для сил сопротивления плоского круглого диска (радиуса  $b$ ), движущегося в направлениях, перпендикулярном своей плоскости и параллельном ей, соответственно равны

$$X = 16\mu b V, \quad X = \frac{32}{3}\mu b V,$$

что при сравнении с эквивалентной сферой означает

$$\frac{R}{b} = \frac{8}{3\pi} \approx 0,85, \quad \frac{R}{b} = \frac{16}{9\pi} \approx 0,57.$$



**Рисунок.** Отношение эффективного радиуса сопротивления к величине полуоси: а) поперечной направлению движения, б) параллельной направлению движения

В то время как из (9), в случае  $a=0$  и  $b=c$ , соответствующем варианту движения диска перпендикулярно своей плоскости, имеем

$$\frac{R_a}{b} = \frac{\sqrt{15}}{5} = 0,7746,$$

а при  $a=b$  и  $c=0$ , что соответствует движению параллельно плоскости диска:

$$\frac{R_a}{b} = \frac{\sqrt{5}}{5} = 0,4472.$$

Попутно можно отметить, что по [1] сопротивление диска при движении в ортогональном к своей плоскости направлении в полтора раза больше, чем в продольном, а по (9) это отношение составляет  $\sqrt{3}=1,732$ .

Подобно [3] для течения, параллельного оси симметрии (при  $b=c$ ), введем отношение длины к диаметру  $\varepsilon=a/c$ . Из (9) отношение эффективного радиуса к величине поперечной полуоси будет

$$R = \frac{R_a}{c} = \sqrt{\frac{1}{5}(3+2\varepsilon)}. \quad (10)$$

Из [3] данная величина при  $\varepsilon>1$  равна:

$$S = \frac{8}{3} \left[ \frac{1}{-\frac{2\varepsilon}{\varepsilon^2-1} + \frac{2\varepsilon^2-1}{(\varepsilon^2-1)^{3/2}} \ln \left( \frac{\varepsilon + \sqrt{\varepsilon^2-1}}{\varepsilon - \sqrt{\varepsilon^2-1}} \right)} \right],$$

а при  $\varepsilon<1$ :

$$S = \frac{8}{3} \left[ \frac{1}{\frac{2\varepsilon}{1-\varepsilon^2} + \frac{2(1-2\varepsilon^2)}{(1-\varepsilon^2)^{3/2}} \operatorname{arctg} \left( \frac{\sqrt{1-\varepsilon^2}}{\varepsilon} \right)} \right]. \quad (11)$$

На рисунке, а приведено сравнение формулы (9) с данными [3] при различных значениях  $\varepsilon$  при движении эллипсоида вдоль оси симметрии. В случае движения поперек направления оси симметрии следует положить  $a=b$  и ввести  $\varepsilon=c/a$ . Тогда (9) дает

$$R = \frac{R_a}{a} = \sqrt{\frac{1}{5}(4\varepsilon+1)}. \quad (12)$$

Согласно [3] при  $\varepsilon>1$ :

$$S = \frac{8}{3} \left[ \frac{1}{\frac{\varepsilon}{\varepsilon^2-1} + \frac{2\varepsilon^2-3}{(\varepsilon^2-1)^{3/2}} \ln(\varepsilon + \sqrt{\varepsilon^2-1})} \right],$$

а при  $\varepsilon<1$ :

$$S = \frac{8}{3} \left[ \frac{1}{-\frac{\varepsilon}{1-\varepsilon^2} - \frac{2\varepsilon^2-3}{(1-\varepsilon^2)^{3/2}} \operatorname{arcsin}(\sqrt{1-\varepsilon^2})} \right]. \quad (13)$$

На рисунке, б приведено сравнение при различных значениях  $\varepsilon$  в случае движения тела поперек оси симметрии. Как видно, (9) дает всюду заниженные результаты при хорошем совпадении для тел, мало отличающихся от сферических. Следует отметить, что при  $\varepsilon \rightarrow 0$  формулы (10) и (11) соответствуют диску, движущемуся в потоке, перпендикулярном своей плоскости, а формулы (12) и (13) – диску, движущемуся параллельно своей плоскости.

Полученная информация о сопротивлении при значительных отличиях полуосей  $a, b, c$  от радиуса сферы  $R$ , существенно расходится с имеющимися теоретическими сведениями. Объясняется это, по-видимому, тем, что использованная система (5), записанная с применением изотропного обезразмеривания, некоторым образом отличается от той, которая получается при неизотропном обезразмеривании. Это обстоятельство приводит к тому, что введенная функция  $f(\sigma)$  должна иным образом зависеть от аргументов  $\xi, \eta, \zeta$ .

### Заключение

Таким образом, решена задача о медленном обтекании эллипсоида, мало отличающегося от сферы, указана формула для расчета его сопротивления.

**Использованные обозначения**

$\vec{v}$  – вектор скоростей,  $Eu$  – число Эйлера,  $Re$  – число Рейнольдса,  $p$  – давление,  $\psi$  – функция тока,  $\theta$  – сферическая координата,  $\varphi$  – потенциал,  $a$ ,  $b$ ,  $c$  – полуоси эллипса,  $\xi$ ,  $\eta$ ,  $\zeta$  – криволинейные координаты,  $x$ ,  $y$ ,  $z$  – декартовы координаты,  $\mu$  – динамическая вязкость,  $X^*$ ,  $X_*$  – силы сопротивления,  $d\vec{S}$  – элемент поверхности.

**СПИСОК ЛИТЕРАТУРЫ**

1. Ламб Г. Гидродинамика. – М.: Гостехиздат, 1947. – 928 с.
2. Дудин И.В., Нариманов Р.К. Сопротивление медленно движущегося в вязкой жидкости трехосного эллипсоида // Препринт № 37. – Томск: Изд-во ТГУ, 2000. – 11 с.
3. Хаппель Д., Бреннер Г. Гидродинамика при малых числах Рейнольдса. – М.: Мир, 1976. – 630 с.